

## ОПРЕДЕЛЕНИЕ КОНСТАНТ ДЕФОРМАЦИОННОГО ПОТЕНЦИАЛА В HgCdTe

Германенко А. В., Ларионова В. А.

Экспериментально исследован эффект Холла в узкощелевом полупроводнике  $n\text{-Hg}_{1-x}\text{Cd}_x\text{Te}$  ( $x=0.168 \pm 0.001$ ) с концентрацией нескомпенсированных доноров  $N_A=N_D=1 \cdot 10^{14} \text{ см}^{-3}$  в температурном интервале 4.2–100 К при одноосном сжатии  $\chi$  до 4.5 кбар в магнитном поле до 1 кЭ. Из анализа зависимостей коэффициента Холла от давления в области собственной проводимости определены константы деформационного потенциала  $d=(-3.5 \pm 0.4)$  эВ и  $b=(-0.8 \pm 0.2)$  эВ.

В последнее время появилось много работ, посвященных исследованию деформационных эффектов в бесщелевых и узкощелевых полупроводниках HgCdTe [1–5]. Для надежной интерпретации экспериментальных результатов необходимо знать константы, описывающие влияние деформации на энергети-

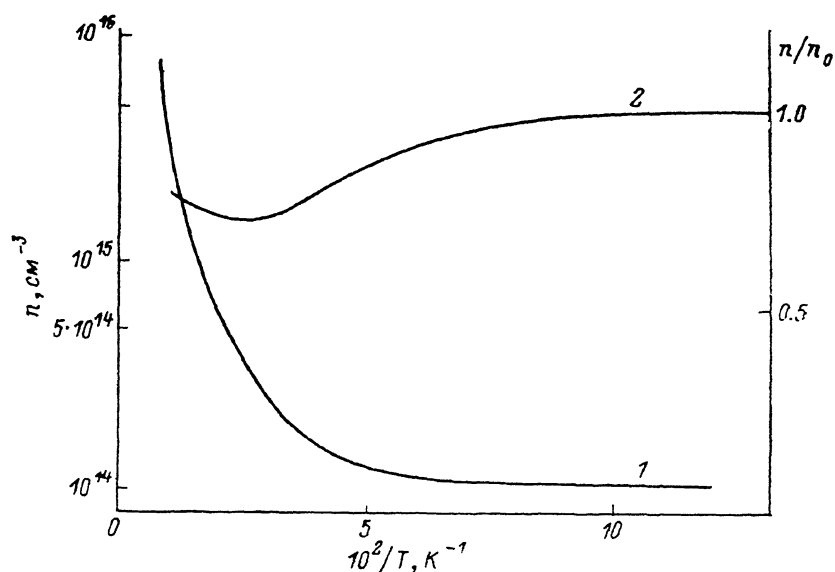


Рис. 1. Температурная зависимость концентрации свободных электронов.  
 $\chi, \text{ кбар: } 1 - 0; 2 - 2.5.$

ческий спектр кристалла: компоненты тензора упругой податливости и константы деформационного потенциала. Если упругие постоянные известны с высокой точностью [6], то разброс встречающихся в литературе констант деформационного потенциала очень велик. Так, крайние значения константы  $d$ , описывающей расщепление валентной зоны при приложении одноосного давления вдоль направления [111], различаются приблизительно в 6 раз [2, 4]. В настоящей работе показано, что возможность получать материалы HgCdTe с малой (в том числе и нулевой) шириной запрещенной зоны с низким содержа-

иением примеси ( $\approx 10^{14}$ — $10^{15}$  см $^{-3}$ ) позволяет достаточно просто определить эти константы по изменению при деформации образца концентрации свободных электронов в области собственной проводимости.

В работе исследован эффект Холла в  $n$ -Hg $_{1-x}$ Cd $_x$ Te ( $x=0.168\pm 0.001$ ) с концентрацией нескомпенсированных доноров  $N_A-N_D=1\cdot 10^{14}$  см $^{-3}$  в температурном интервале 4.2—100 К при одноосном сжатии до 4.5 кбар в магнитном поле до 1 кЭ (в отсутствие давления исследования проводились при  $T=4.2$ —300 К и  $H < 250$  кЭ). Состав образцов определялся методом рентгеновского микронализа. Определенная этим методом величина  $x$  хорошо описывает результаты туннельной спектроскопии в магнитном поле [7] и температурную зависимость концентрации свободных электронов.

Анализ полевых зависимостей коэффициента Холла ( $R$ ) в магнитных полях до 250 кЭ показал, что во всей области температур  $R$  определяется свободными

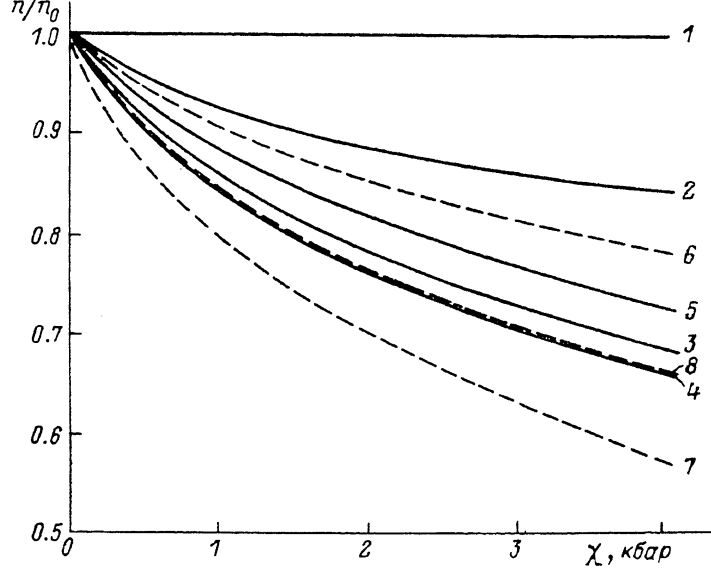


Рис. 2. Экспериментальные (1—5) зависимости концентрации электронов от приложенного давления.

$T$ , К: 1 — 4.2; 2 — 20; 3, 4 — 50; 5 — 90. 1, 2, 4, 5 —  $\chi \parallel [011]$ , 3 —  $\chi \parallel [111]$ . 6—8 — результаты теоретического расчета.  $\Delta_\epsilon$ , мэВ/кбар: 6 — 6.0; 7 — 3.7; 8 — 4.7.

электронами, и поэтому для определения их концентрации ( $n$ ) можно пользоваться простым соотношением  $n \simeq (eR)^{-1}$ .

Температурные зависимости  $n(T)=[eR(100 \text{ Э})]^{-1}$  имеют обычный для узкощелевых полупроводников  $n$ -типа вид (рис. 1). При  $T < 20$  К концентрация электронов не зависит от температуры и равна концентрации нескомпенсированных доноров. При  $T > 20$  К наблюдается увеличение концентрации свободных электронов, связанное с их переходом в область собственной проводимости.

Как видно из рис. 2, зависимости  $n(\chi)$  одинаковы при  $\chi \parallel [111]$  и  $\chi \parallel [011]$ . При низких температурах, как и следовало ожидать, концентрация электронов не меняется с давлением, поскольку  $n=(N_A-N_D)$ . В области собственной проводимости  $n$  падает, так как изменяются плотность состояний и расстояние между зоной проводимости и валентной зоной.

Полученные результаты проанализированы в кр-модели энергетического спектра полупроводника с учетом деформации [8] в приближении  $\Delta \gg \epsilon$ ,  $E_g$ , где  $\Delta$  — величина спин-орбитального расщепления. В этом случае задача о нахождении закона дисперсии сводится к определению собственных значений матрицы  $6 \times 6$ . Влияние деформации в этой модели при приложении одноосного сжатия вдоль высокосимметричных направлений учитывается двумя (без учета отсутствия центра инверсии) константами. Одна из них описывает изменение расстояния в точке  $k=0$  от зоны проводимости до центра валентной зоны и равна  $1/3$  части барического коэффициента пририни запрещенной зоны при гидроста-

тическом давлении  $\beta'' = \beta'/3 = (C_1 - a)(S_{11} + 2S_{12})\chi$ ; вторая, обозначаемая обычно  $\Delta_e$ , описывает расщепление валентной зоны в точке  $k=0$ . Она для  $\chi \parallel [001]$ ,  $[111]$  соответственно равна  $|b|(S_{11} - S_{12})\chi$ ,  $(1/2\sqrt{3})|d|S_{44}\chi$ . Здесь  $S_{ij}$  — компоненты тензора упругой податливости,  $a$ ,  $C_1$ ,  $b$ ,  $d$  — константы деформационного потенциала. Детальный анализ зависимости  $n(\chi)$  был проведен для  $T=50$  К, поскольку при этой температуре наблюдаются максимальные изменения концентрации электронов с давлением (рис. 1). Из сравнения экспериментальных зависимостей  $n(\chi)$  с теоретическими, полученными из уравнения электронейтральности  $n + N_A^- = N_D^+ + p$ , где  $p$ ,  $n$  — концентрации [электронов и дырок, рассчитанные с использованием плотности состояний деформированного полупроводника, была определена константа  $\Delta_e$ , которая как для  $\chi \parallel [001]$ , так и для  $\chi \parallel [111]$  оказалась равной 4.7 мэВ/кбар, что при использовании упру-

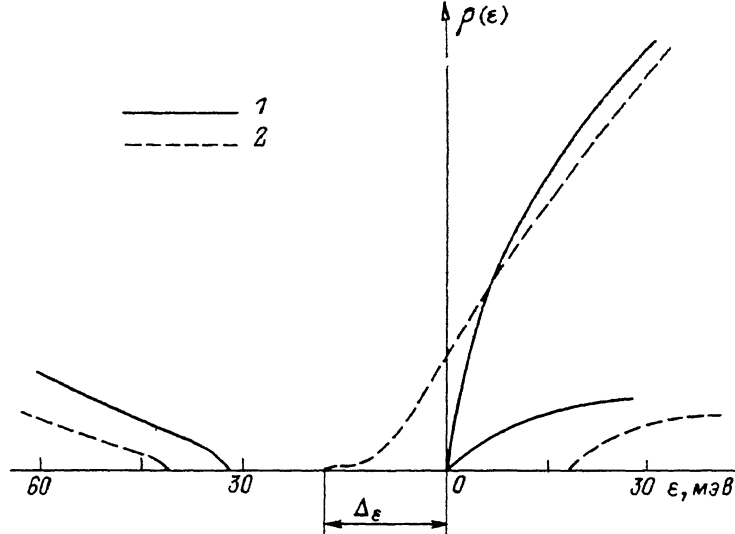


Рис. 3. Плотность состояний валентной зоны и зоны проводимости.  
 $\chi$ , кбар: 1 — 0; 2 — 2.0.

гих постоянных  $S_{11}=4.176 \cdot 10^{-3}$ ,  $S_{12}=-1.7 \cdot 10^{-3}$ ,  $S_{44}=4.7 \cdot 10^{-3}$  кбар<sup>-1</sup> [6] дает  $d=-3.5$  эВ,  $b=-0.8$  эВ. С этими значениями хорошо описываются зависимости  $n(\chi)$  во всем температурном интервале. В расчетах использованы следующие параметры: матричный элемент оператора импульса  $P=8.2 \cdot 10^{-8}$  эВ·см, эффективная масса тяжелой дырки  $m_h=0.44 m_0$ , барический коэффициент ширины запрещенной зоны  $\beta=8.5$  мэВ/кбар [8] и зависимость  $E_g(x, T)$  [10]. Чтобы выяснить чувствительность полученных констант к параметрам  $m_h$  и  $\beta$ , которые для этих материалов известны с невысокой точностью, были проведены расчеты для набора параметров из интервала встречающихся в литературе значений  $\beta=8-12$  мэВ/кбар и  $m_h=(0.3-0.8)m_0$  [9]. Оказалось, что это вносит ошибку в определение констант  $b$  и  $d$  не более 10 %.

Таким образом, значения констант деформационного потенциала составляют  $d=(-3.5 \pm 0.4)$  эВ,  $b=(-0.8 \pm 0.2)$  эВ.

Следует отметить одну важную, с нашей точки зрения, особенность. Используя найденные константы, легко видеть, что с ростом давления происходит уменьшение энергетической щели между валентной зоной и зоной проводимости. Несмотря на это, концентрация собственных электронов уменьшается. Такое поведение  $n(\chi)$  связано с радикальным изменением плотности состояний валентной зоны при одноосной деформации: вблизи потолка зоны она оказывается настолько малой (рис. 3), что при высоких температурах эти состояния не дают существенного вклада в концентрацию свободных носителей.

Строго говоря, в настоящей работе независимо определена лишь одна константа  $d$ , поскольку мы, к сожалению, не располагали образцами, ориентированными вдоль оси [001]. Константу  $b$  удалось получить из анализа экспери-

ментальных данных, полученных ранее при  $\chi \parallel [001]$  на бесщелевых ( $E_g = -40$  мэВ)  $p$ -HgCdTe с  $N_A \approx 10^{15}$  см $^{-3}$  [11]. При одноосном сжатии из-за понижения симметрии в этих материалах появляется запрещенная зона. Вместе с изменением плотности состояний это приводит к падению концентрации свободных электронов, которое в области собственной проводимости в значительной степени определяется величиной расщепления зоны  $\Gamma_8$  в точке  $\mathbf{k}=0$  и практически не зависит от концентрации акцепторов и степени компенсации. Обработка результатов дала значение константы  $b = (-1.0 \pm 0.1)$  эВ, что с учетом погрешности совпадает со значением, полученным в  $n$ -HgCdTe в ориентации [001].

#### Список литературы

- [1] Takita K., Onabe K., Tanaka S. // Phys. St. Sol. (b). 1979. V. 92. N 1. P. 297—306.
- [2] Якунин М. В. // ФТП. 1988. Т. 22. В. 8. С. 1452—1461.
- [3] Yoshizaki R., Tanaka S. // J. Phys. Soc. Japan. 1977. V. 42. N 5. P. 1601—1608.
- [4] Гасан-заде С. Г., Ромака В. А., Сальков Е. А., Шепельский Г. А. // ФТП. 1987. Т. 21. В. 11. С. 2066—2071.
- [5] Takita K., Tanimura N., Tanaka S. // Proc. 12 Int. Conf. Phys. Semicond. Stuttgart, 1974. P. 1152—1156.
- [6] Miller A. J., Saunders G. A., Yogurtcu Y. K., Abey A. E. // Phil. Mag. A. 1981. V. 43. N 6. P. 1447—1471.
- [7] Зверев Л. П., Кружаев В. В., Миньков Г. М., Рут О. Э. // ЖЭТФ. 1981. Т. 80. В. 4. С. 1163—1173.
- [8] Бир Г. Л., Пикус Г. Е. Симметрия и деформационные эффекты в полупроводниках. М., 1972. 640 с.
- [9] Tsidilkovski I. M., Harus G. I., Shelushinina N. G. // Adv. Phys. 1985. V. 34. P. 43—174.
- [10] Hansen G. L., Schmit J. L., Casselman T. N. // J. Appl. Phys. 1982. V. 53. N 10. P. 7099—7101.
- [11] Германенко А. В., Миньков Г. М., Румянцев Е. Л., Рут О. Э. // ЖЭТФ. 1988. Т. 94. В. 1. С. 242—254.

Уральский государственный  
университет им. А. М. Горького  
Свердловск

Получена 25.04.1990  
Принята к печати 18.06.1990